

Fig. 3

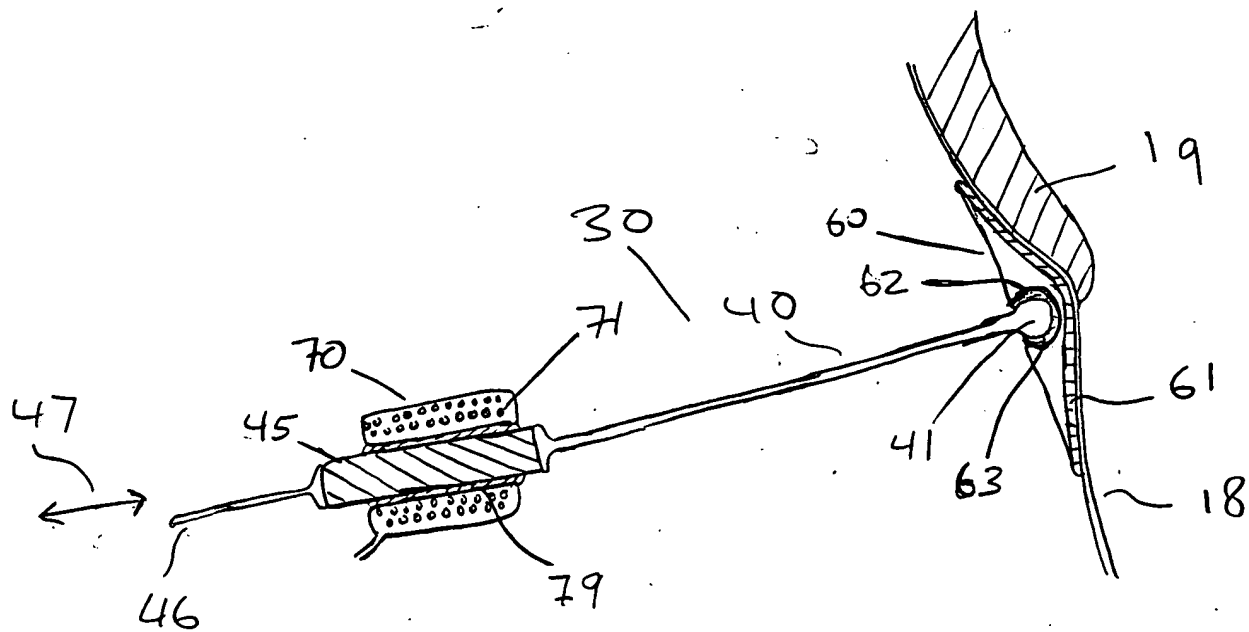
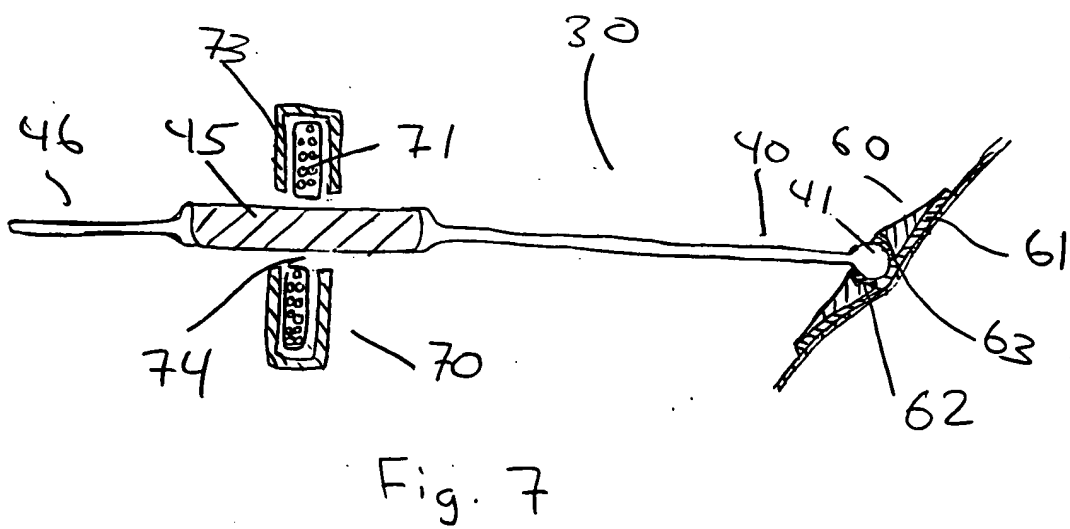
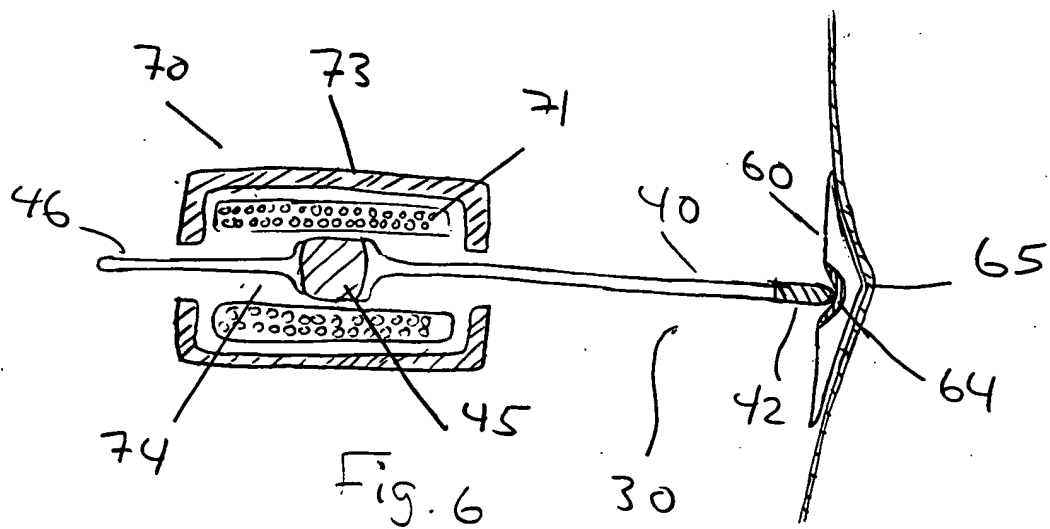
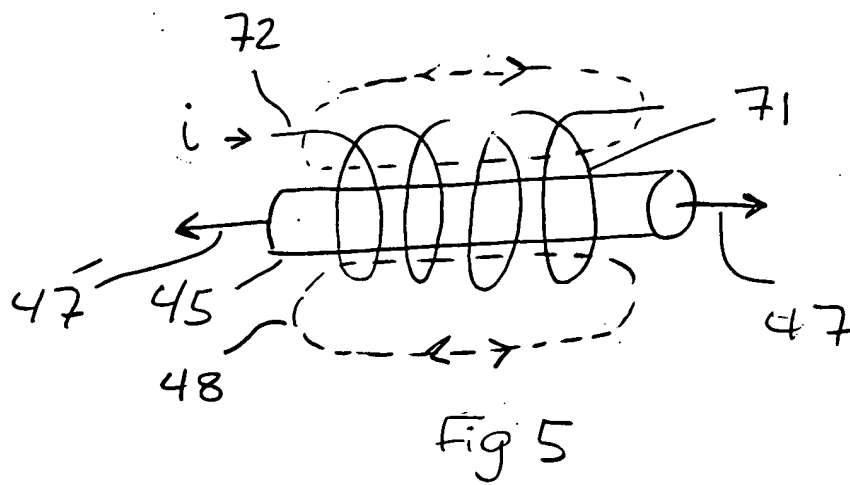


Fig. 4



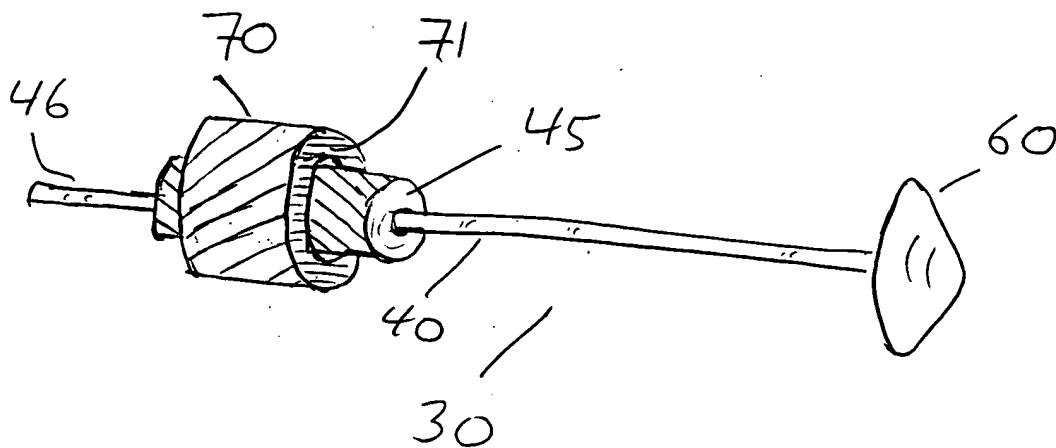


Fig. 8

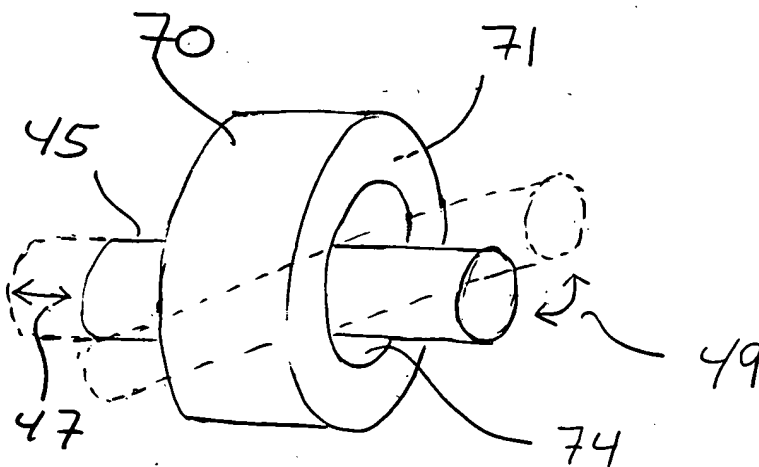
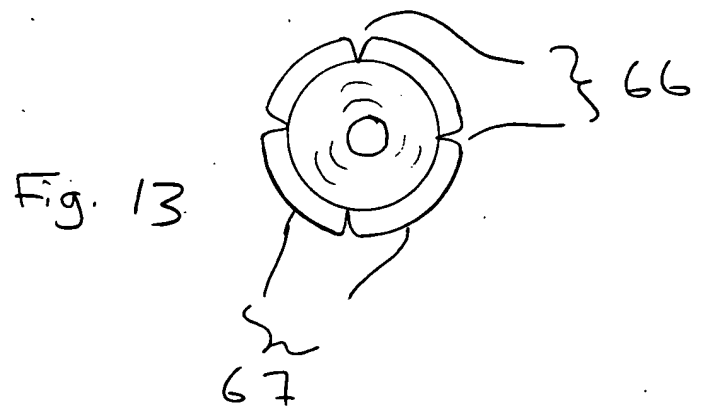
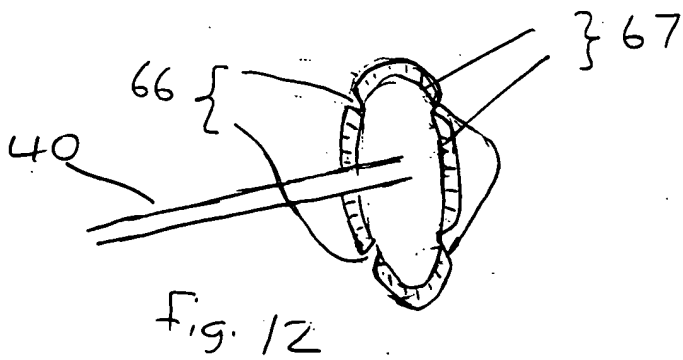
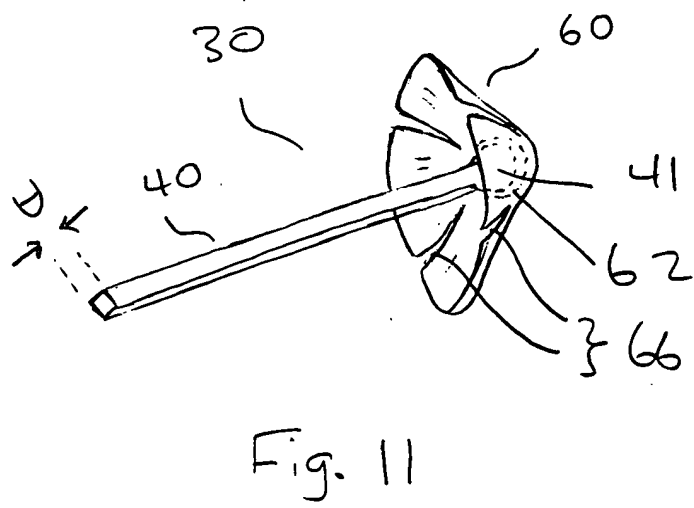
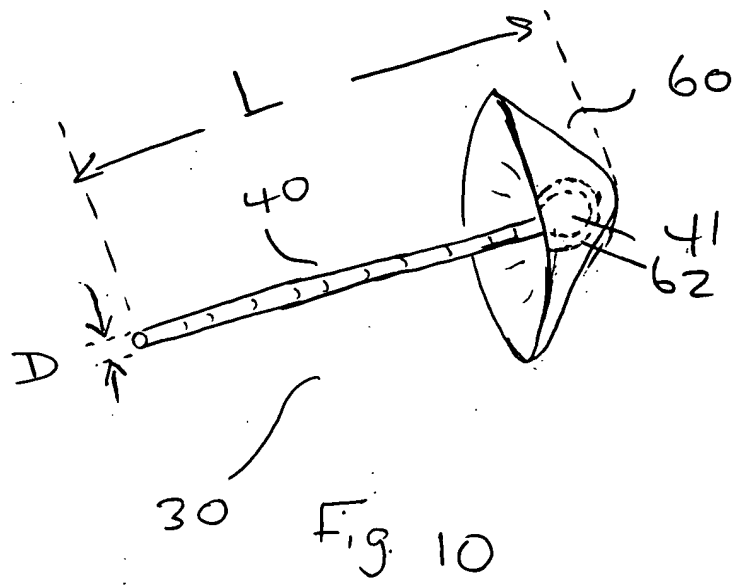


Fig. 9



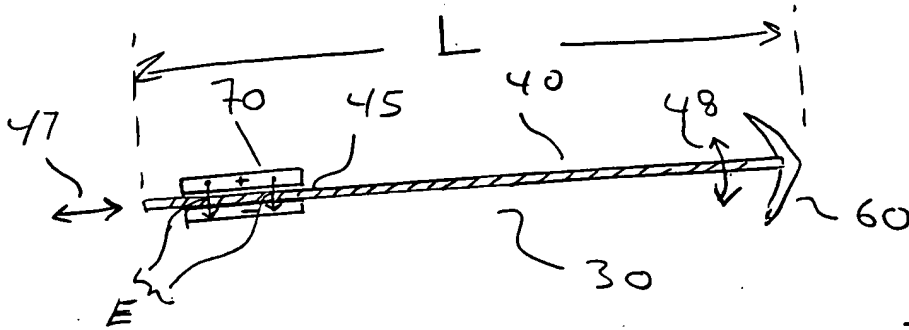


Fig. 14A

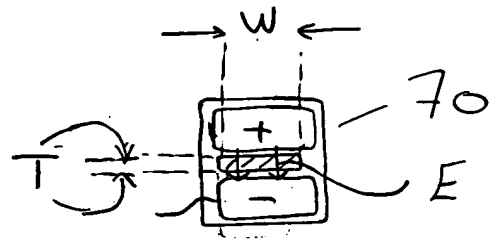


Fig. 14B

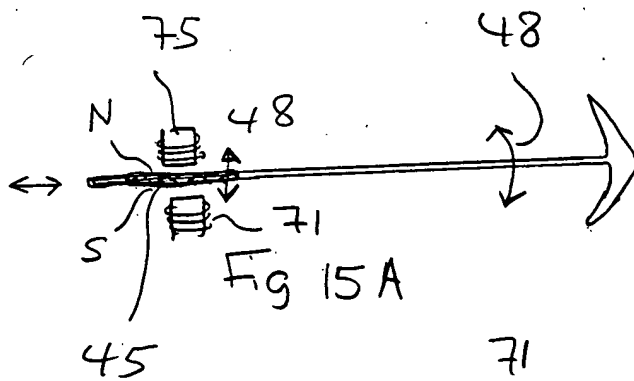


Fig. 15A

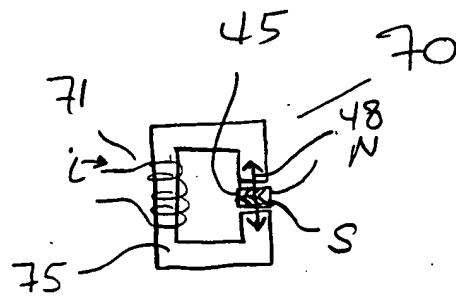


Fig. 15B

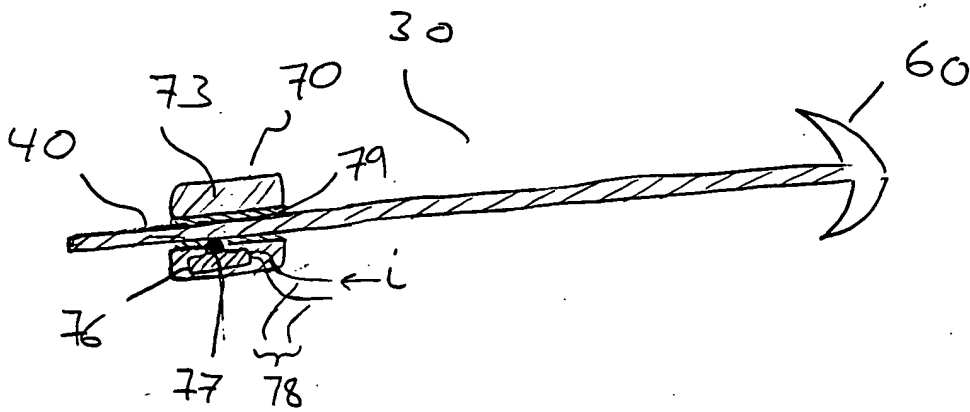


Fig. 16A

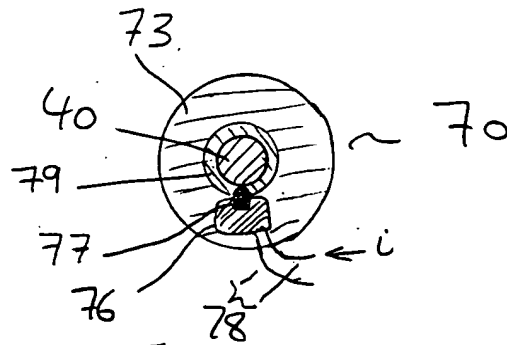
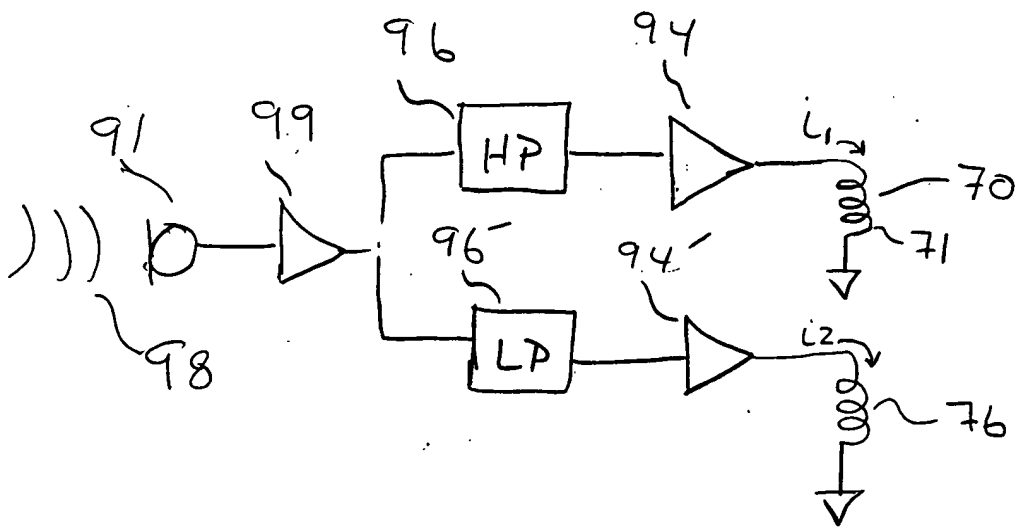
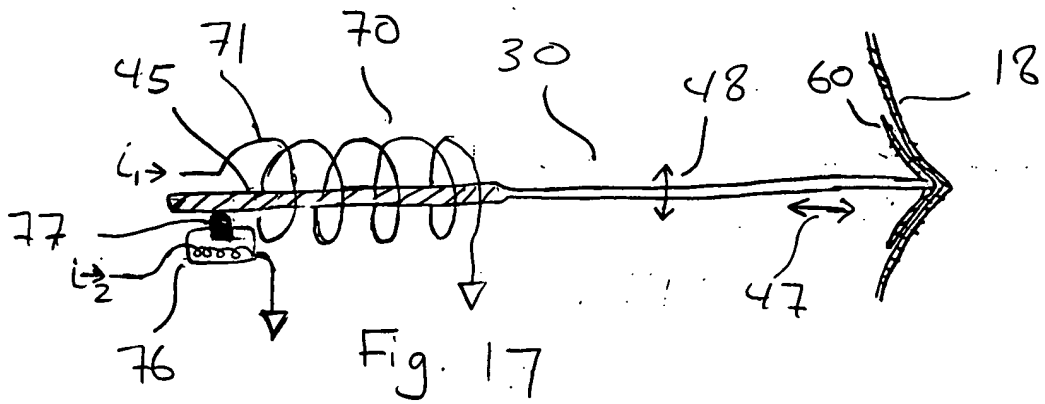


Fig 16B





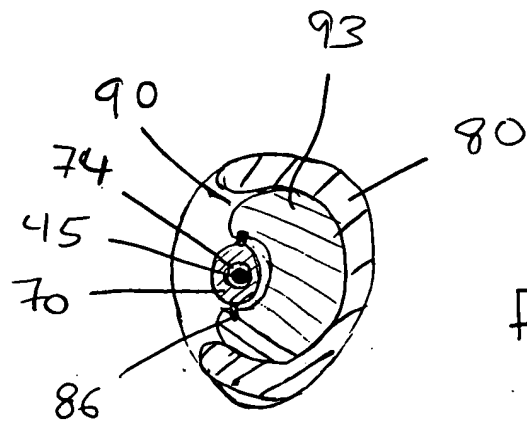


Fig. 19

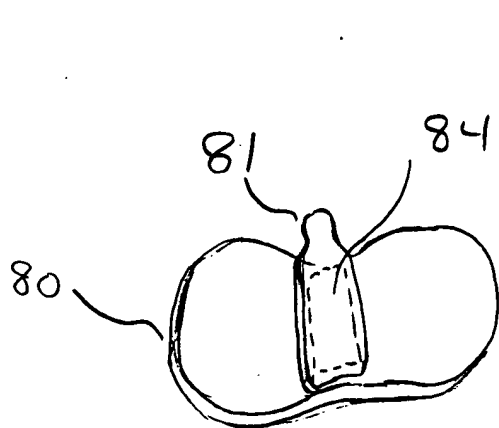


Fig. 20

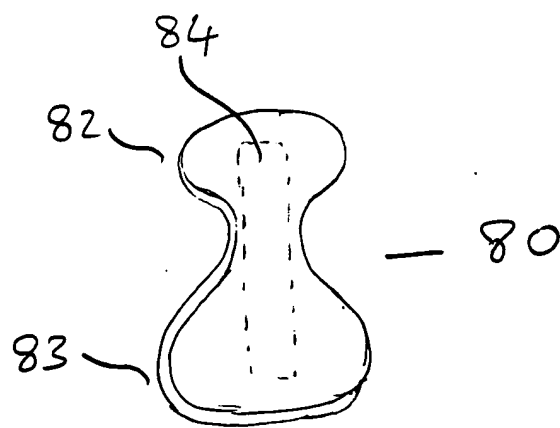


Fig. 21

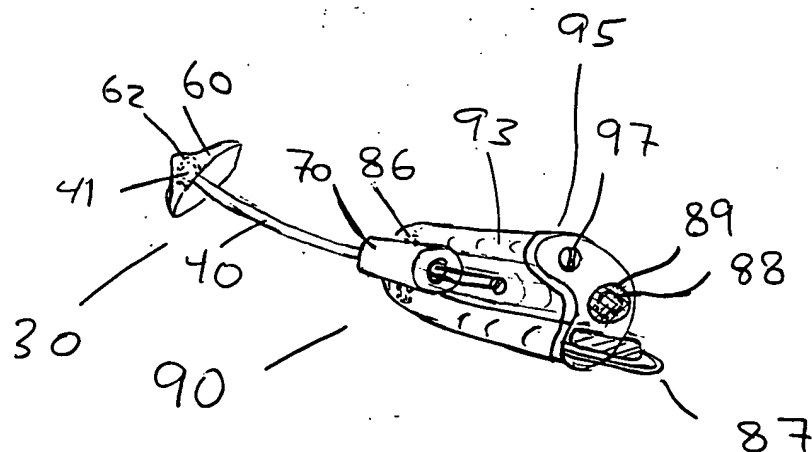


Fig. 22

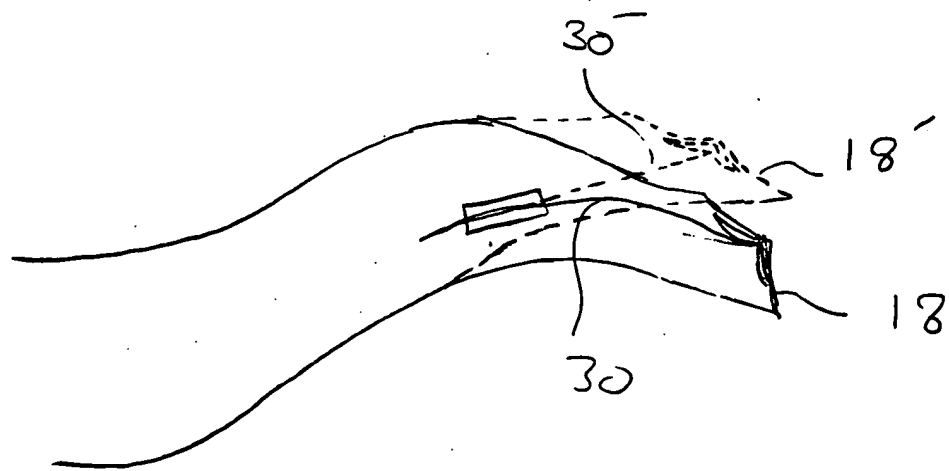


Fig. 23

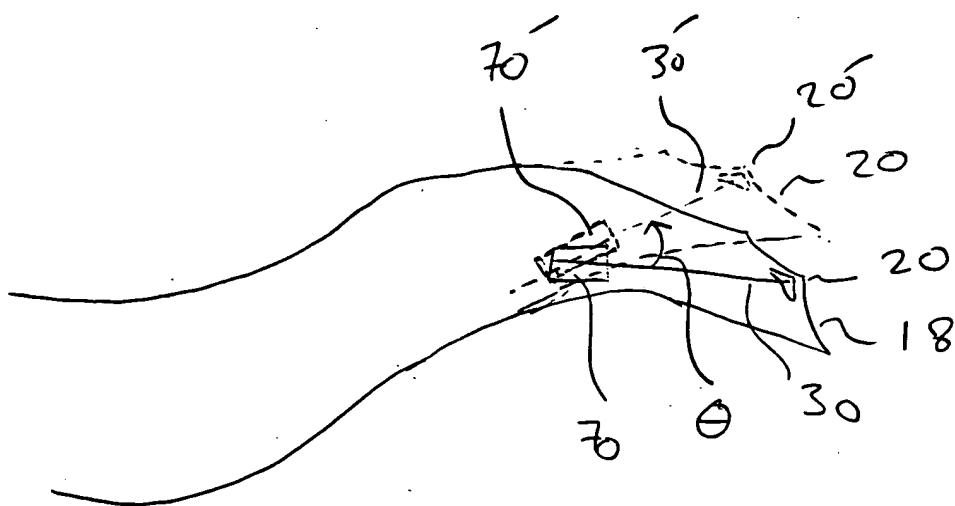


Fig. 24.

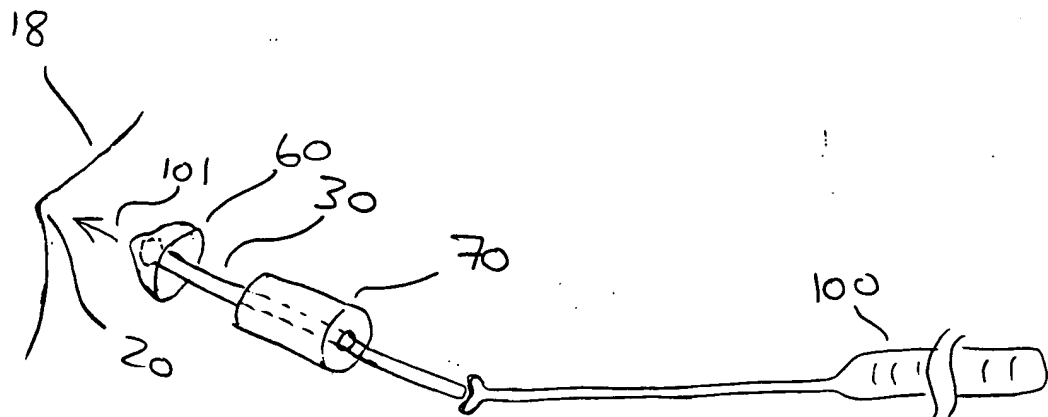


Fig. 25

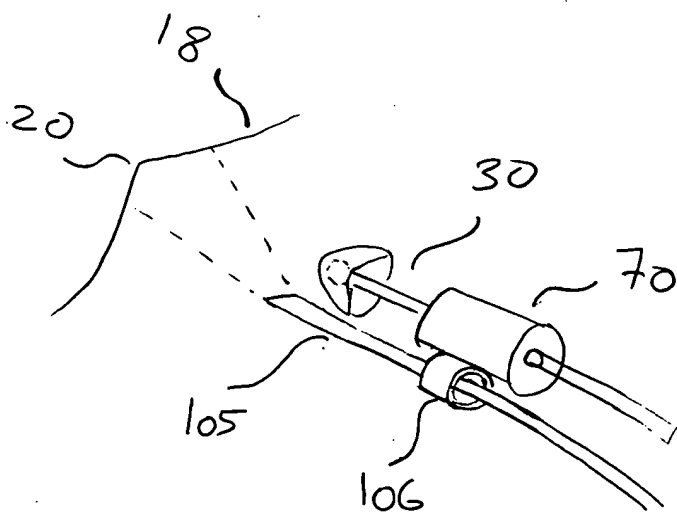


Fig 26

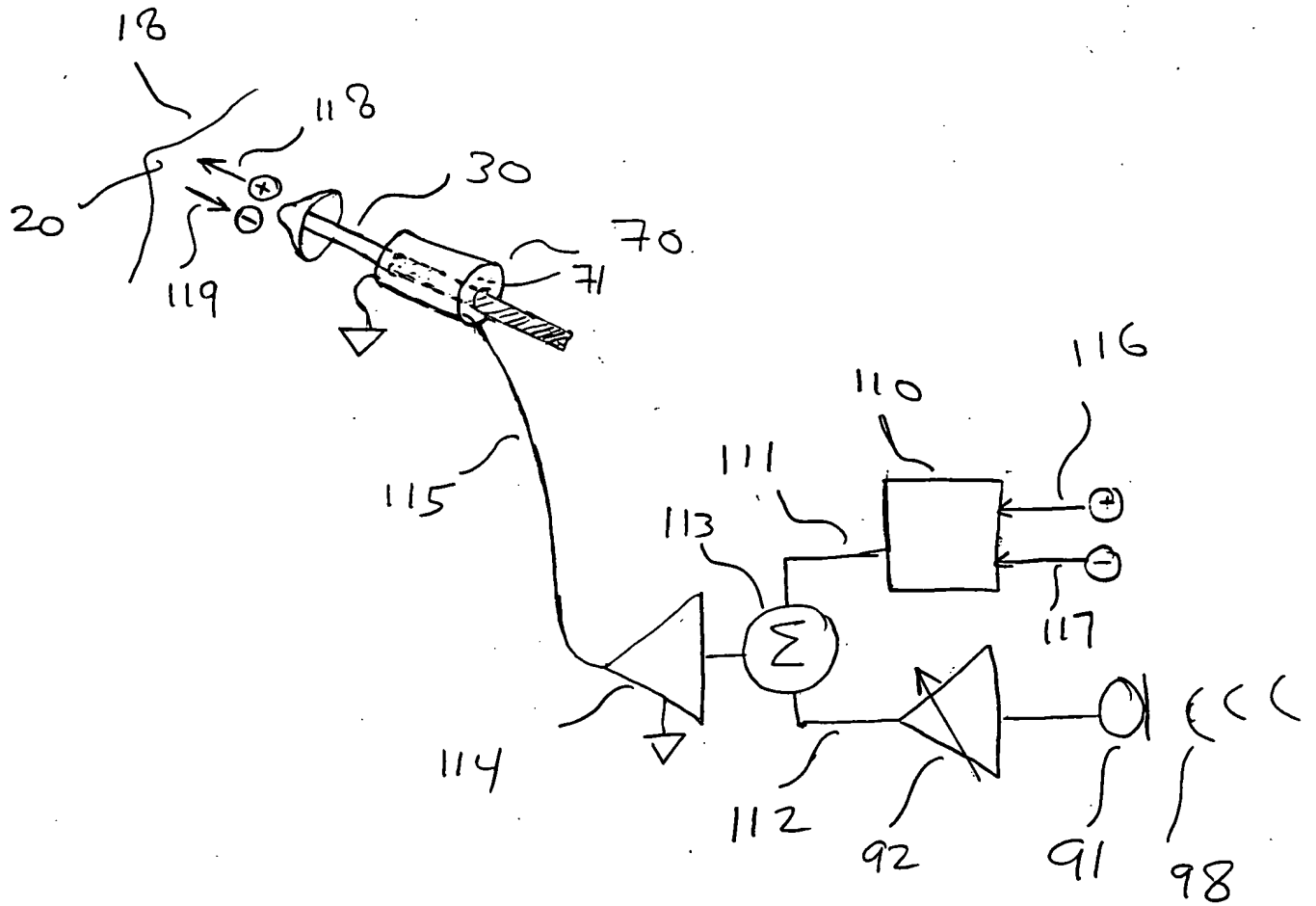


Fig 27

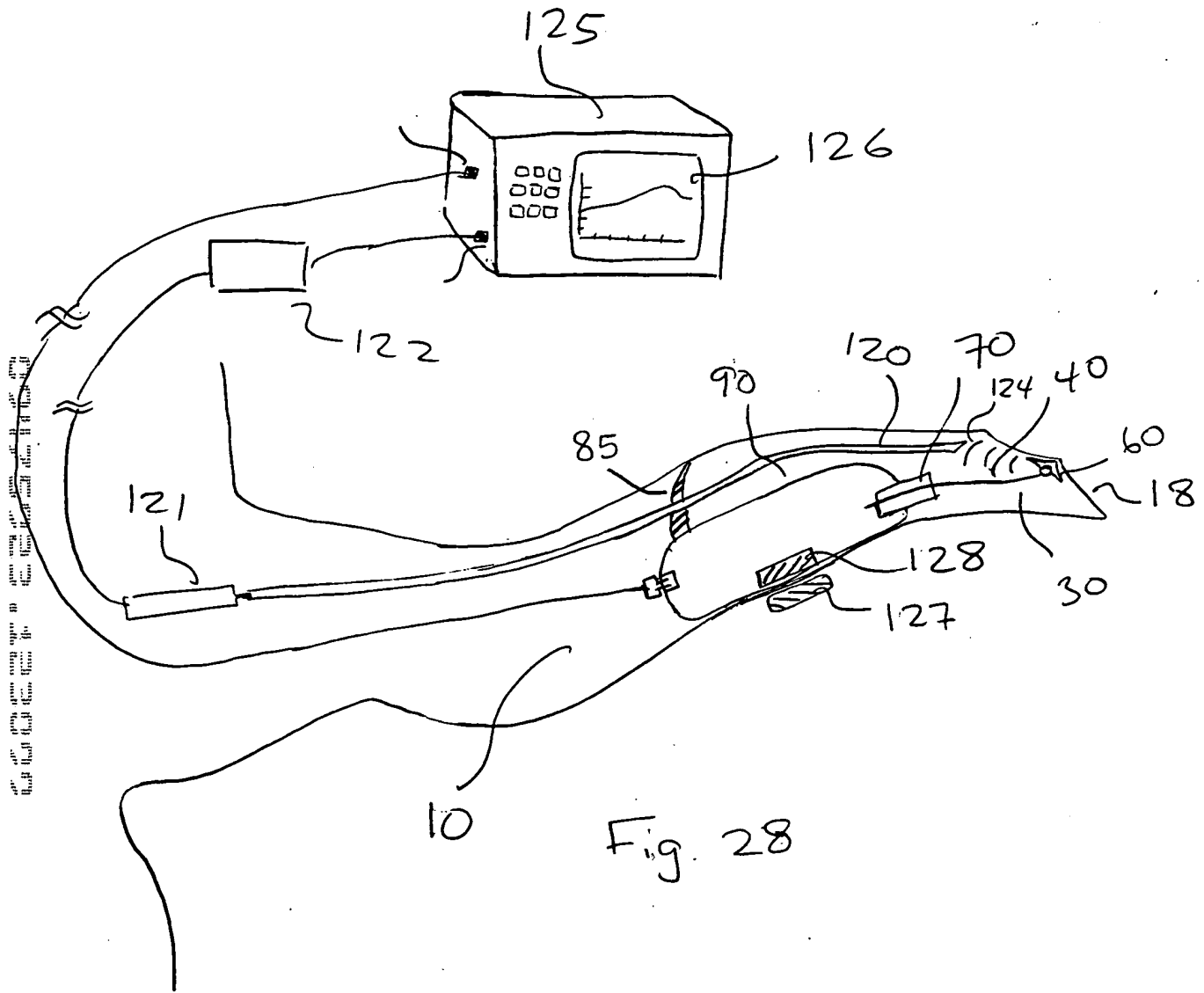


Fig. 28